

**НОВЫЕ U-PB SHRIMP II ДАННЫЕ ПО ЦИРКОНУ
ИЗ ЩЕЛОЧНЫХ («ПСЕВДОЛЕЙЦИТОВЫХ») ТЫЛАИТОВ
КОСЬВИНСКОГО КАМНЯ: К ПРОБЛЕМЕ ИЗОТОПНОГО ВОЗРАСТА
ДУНИТ-ПИРОКСЕНИТ-ТЫЛАИТОВОГО КОМПЛЕКСА
ПЛАТИНОНОСНОГО ПОЯСА УРАЛА**

А.А. Ефимов, Д.И. Матуков

Для Кытлымского массива А.А. Ефимов и Л.П. Ефимова [1967] описали обогащенные щелочами тылаиты, содержащие кислый плагиоклаз и биотит, необычные для пород с химией меланократовых оливиновых габбро. По надежным геологическим данным, эти породы, несущие отчетливые признаки пластического

течения и метаморфической дифференциации, входят в динамометаморфическую концентрическую структуру монолитного блока Косьвинского Камня, сложенного «горячим меланжем» – расслоенной серией высокотемпературных тектонитов дунит-пироксенит-тылаитового состава [Ефимов, 1977, 1999]. Е.В.Пушкирев

[2000] обнаружил в образцах из этого местонахождения симплектиты ортоклаз-нефелинового состава («псевдолейцит»), подобные ранее найденным им в тылаитах Нижнетагильского массива, интерпретированным как продукт магматической кристаллизации лейкита и его взаимодействия с остаточным расплавом [Ферштатер, Пушкирев, 1992]. Вопрос об их природе здесь не рассматривается, однако магматический генезис этих образований маловероятен, в частности, потому, что симплектиты обнаружены в поздних бластомилонитах, секущих полосчатость в тех же тылаитах [Ефимов, Потапова, 2000].

Е.В. Пушкирев с коллегами [Пушкирев и др., 2003] получили по валовым составам «псевдолейцитовых» тылаитов Косьвинского Камня Rb-Sr эррохрону 340 ± 22 млн. лет, из которой следует, что формирование горячего меланжа происходило в нижнем карбоне. Эта датировка была немедленно использована с далеко идущими выводами в ряде публикаций [Пушкирев, 2000; Пушкирев и др., 2003; Пушкирев и др., 2003, Ферштатер и др., 2005 и др.]. Из нее, в частности, вытекало, что платиноносные дуниты моложе не только силурийских габбро-норитов [Bosch et al., 1997; Ronkin et al., 1997], но даже плагиогранитов, прорывающих все без исключения структурно-вещественные комплексы Платиноносного пояса. Недавно полученные нами [Ефимов и др., 2005] U-Pb ID-TIMS методом по цирконам изотопные датировки для плагиогранитов Кытлымского массива ($415 \pm 10 - 417 \pm 2$ млн. лет) убедительно показали, что цифра 340 ± 22 млн. лет находится в резком противоречии с фундаментальными геологическими фактами. Еще более древние цифры ($531-440$ млн. лет) фигурируют в недавно опубликованной статье [Попов, Беляцкий, 2006], содержащей данные Sm-Nd датирования двух десятков валовых составов (в том числе двух пироксенов и апатитов) дунитов, верлитов, клинопироксенитов и тылаитов (в том числе «псевдолейцитовых») из горячего меланжа Кытлымского массива. Таким образом, вопрос о времени образования «псевдолейцитовых» тылаитов приобретает принципиальное значение, а возникшие противоречия заслуживают серьезного внимания. Авторы предприняли попытку определить изотопный возраст этих пород U-Pb методом по единичным цирконам и их фрагментам с помощью прецизионного вторично-ионного микрозонда высокого разреше-

ния SHRIMP II.

В Кытлымском массиве тектониты горячего меланжа слагают два крупных блока концентрического строения, примерно одинаковых по размеру (около 11×12 км), – Тылайский (северный) и Косьвинский (южный). Первый прикасается к находящемуся восточнее Серебрянскому блоку по горячему тектоническому шву, второй представляет собой изолированное монолитное тело, окруженное метавулканитами. Центральная часть Косьвинского блока (вершина Косьвинского Камня – 1520 м) сложена клинопироксенитами с многочисленными дунитовыми телами. С запада и юго-запада пироксенитовое поле окаймляется полосой тылаитов, за которой, в свою очередь, следует еще одна полоса пироксенитов, вмещающая меридионально вытянутое дунитовое тело Сосновского Увала. Щелочные тылаиты слагают промежуток между южным окончанием последнего и дунит-пироксенитовым полем Косьвинского Камня. Здесь, в районе 12-го км дороги Кытлым – Тылай, находится группа крупных скальных выходов, в которой эти породы и были первоначально обнаружены. Здесь же, у самой дороги, отобрана проба 11677 (далее на рисунках фигурирует как проба с номером 7), из которой нами был выделен циркон для изотопных исследований (рис. 1). Щелочные тылаиты слагают конформную с общей структурой блока толщу мощностью до 1 км и протяженностью не менее 3 км, по сути дела – химическую зону в структурно едином дунит-пироксенит-тылаитовом разрезе.

«Псевдолейцитовые» тылаиты имеют, как правило, меланократовый облик (плагиоклаза обычно около 20-25 % и менее) и в общем довольно однородны. При этом в них хорошо заметна гнейсовидная текстура, выраженная параллельной ориентировкой минеральных скоплений. В редких случаях, при появлении ультрапалеократовых слоев мощностью до 0,5 м, в которых преобладает плагиоклаз, возникает отчетливая полосчатость (расслоенность). Гнейсовидность и полосчатость конформны и фиксируют эпоху пластического течения пород. В единичных случаях наблюдаются секущие параллельную текстуру жильные анортозитовые сегрегации – продукт метаморфической дифференциации относительно гомогенной тылаитовой матрицы. Обычная для тылаитов порфировидная структура в данном случае не слишком хорошо выражена. Она скорее соответствует

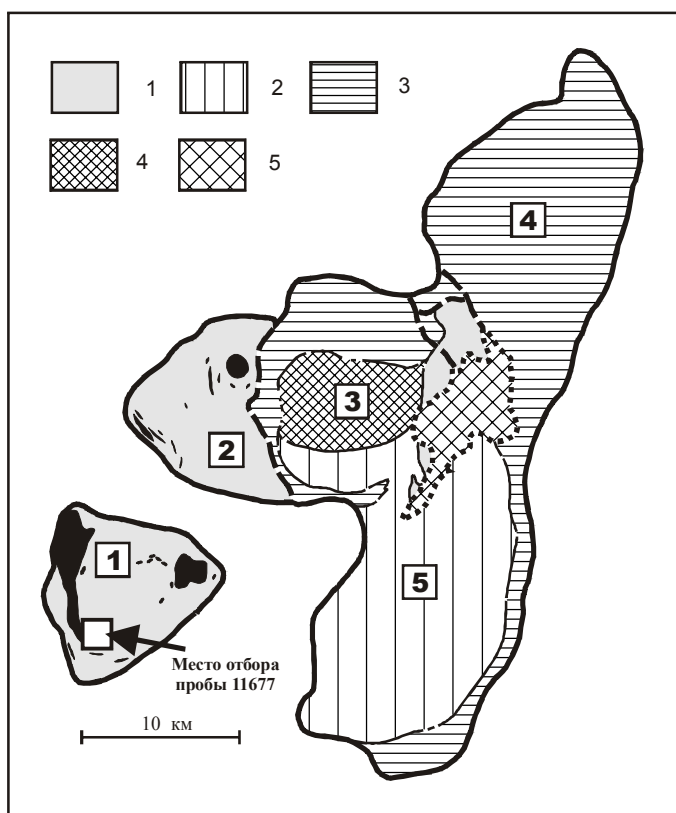


Рис. 1. Структурная схема Кытлымского массива с указанием места отбора изученной пробы.

1 – расслоенный дунит-пиroxенит-тылаитовый комплекс («горячий меланж»; черное – дунитовые тела); 2 – комплекс аортит-оливиновых габбро; 3 – габбро-норитовый комплекс; 4 – комплекс роговообманковых габбро серебрянского типа; 5 – интрузия плагиогранитов. Жирными цифрами в рамках (1-5) на схеме обозначены структурные блоки массива, соответственно – Косьвинский, Тылай-Конжаковский, Серебрянский, Валенторский и Сухогорский.

ет криптовой структуре Л. Дюпарка: каркас породы составляет преобладающий клинопироксен, часто с обильными пластинчатыми вростками биотита, реже магнетита. Интерстиции между более или менее идиоморфными выделениями клинопироксена выполнены оливином, биотитом, плагиоклазом и магнетитом. Ортоклаз-нефелиновые симплектиты приурочены к выделениям плагиоклаза и встречаются только в меланократовых разностях; в лейкократовых слоях симплектиты отсутствуют.

Химически косьвинские тылаиты, в том числе и изученный обр. 11677, отличаются от «обычных» повышенными содержаниями Na_2O и K_2O (соответственно до 3,5 и 1,25 мас. %), что выражается в необычно кислом составе плагиоклаза, в присутствии биотита и «псевдолейцита». Геохимические отличия значительны: валовые содержания Sr достигают в преобладающих разностях 1000, а в ультралейкократовых слоях и в полевошпатовых фракциях – 3000 г/т и более. Сумма РЗЭ достигает 100-140 г/т, а содержание легких РЗЭ на порядок превышает таковое, например, в тылаитах Тылайского блока (рис. 2). Однако химизм косьвинских тылаитов, по большому счету, не представляет собой чего-то исключительного: обогащение щелочами, стронцием и РЗЭ, правда, в мень-

шей степени, отмечено также для лабрадоровых биотитсодержащих тылаитов нижней зоны разреза горячего меланжа Денежкина Камня [Ефимов, Маевов, 1981]. Для изученного образца 11677 получены микрозондовые анализы клинопироксена, оливина, биотита, магнетита, шпинели и апатита, а также вмещающего симплектиты плагиоклаза $\text{An}_{32}\text{-}\text{An}_{35}$, ортоклаза и нефелина в симплектитах [Ефимов и др., 2006]. Ортоклаз содержит около 90 % ортоклазового, 8,5 % альбитового и 1,5 % аортитового компонента. Нефелин представлен сложным твердым раствором, содержащим около 73-76% нефелинового, 12-18 % кальсилитового, 5-7 % ортоклазового и 5-7 % кальциевого (условно аортитового) компонента. Валовой анализ симплектита пересчитывается примерно на 52 % ортоклазового, 40 % нефелинового, 2,5 % кальсилитового и 5 % аортитового компонента.

Оптические изображения выделенных из образца 11677 и проанализированных с помощью ионного микрозонда SHRIMP II семи кристаллов циркона представлены на рис. 3. Размер зерен варьирует от 80 до 160 мкм. Изученные разности представлены идиоморфными, относительно длиннопризматическими (коэффициент удлинения от 2 до 3) индивидами, во внутренних частях которых наблюдаются обо-

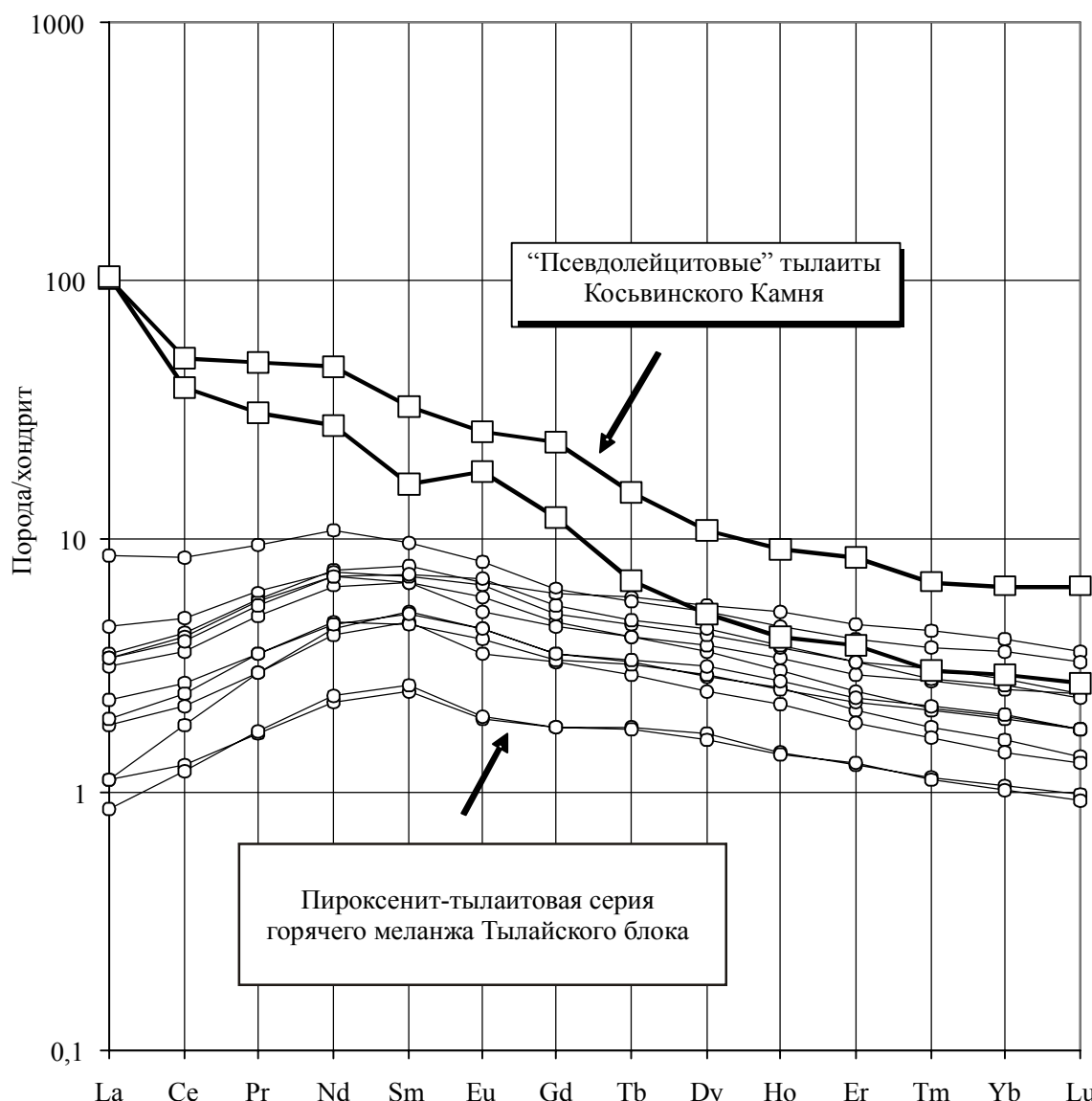


Рис. 2. Спектры элементов группы редких земель в «псевдолейцитовых» тылайтах Косьвинского Камня в сравнении с таковыми пироксенит-тылайтовой серией горячего меланжа Тылайского Камня.

собленные «ядра», в основном призматической формы, с большим количеством разнообразных включений. Некоторые «ядра» (7.2.1, 7.3.2) демонстрируют следы деформаций (дробления).

Результаты «*in situ*» U-Pb датирования цирконов, полученные с помощью ионного микрозонда высокого разрешения SHRIMP II по методике, детально изложенной в работе [Ронкин и др., 2005], представлены на рис. 4. Изученные разности в координатах $^{207}\text{Pb}/^{235}\text{U}$ – $^{206}\text{Pb}/^{238}\text{U}$ демонстрируют незначительную дискордантность от 16 % (циркон 7.1.2) до практически конкордантного значения -0,2% для кристалла 7.6.1. Существенную дискордантность (496 %) демонстрируют U-Pb данные

для кристалла 7.5.1, фиксируя, возможно, значимую потерю радиогенного свинца (и/или добавку урана). В целом, изученный материал демонстрирует отрицательную корреляцию зависимости величины дискордантности от $^{206}\text{Pb}/^{238}\text{U}$ возрастов. Формальная аппроксимация U-Pb данных в указанных координатах обуславливает дискордию, верхнее пересечение которой с конкордией определяет изохронный (СКВО = 0,46) возраст 501 ± 38 млн. лет (95 % доверительный уровень) с высокой вероятностью соответствия, равной 0,89, тогда как нижнее пересечение в пределах наблюдаемых погрешностей соответствует нулю.

Факт «перекрытия» эллипсов, соответ-

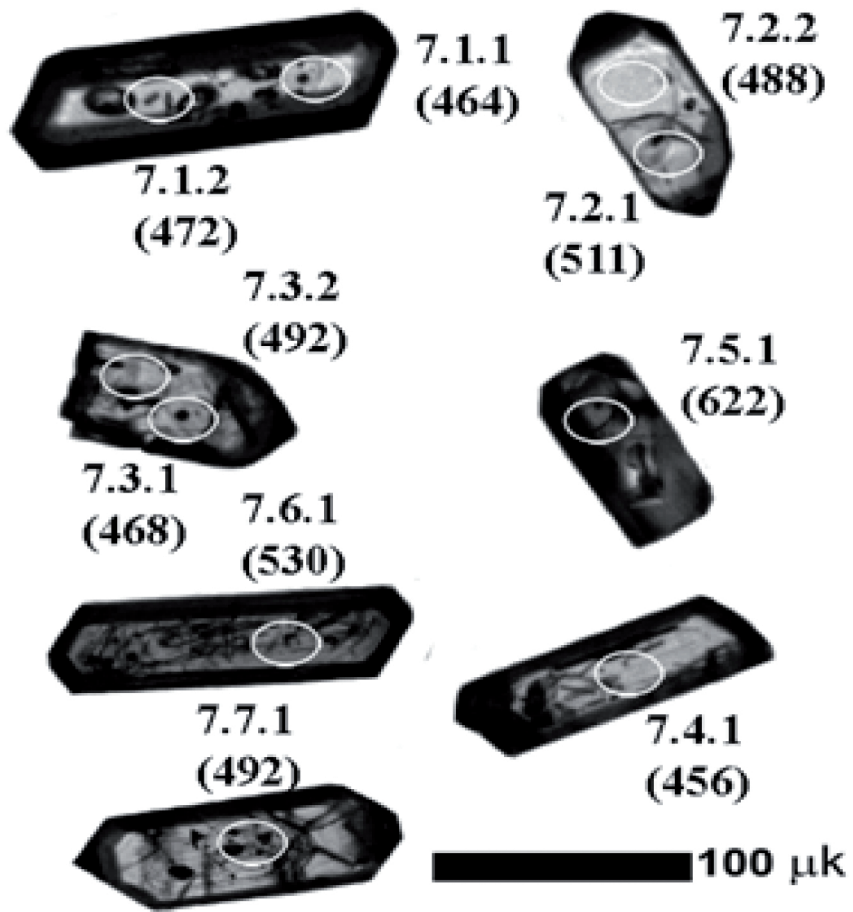


Рис. 3. Оптические изображения проанализированных цирконов из тылита 11677. Белые контуры эллипсов демонстрируют локализацию кратеров в пределах кристаллов. Цифры в круглых скобках соответствуют возрасту по $^{207}\text{Pb}/^{206}\text{Pb}$ в млн. лет.

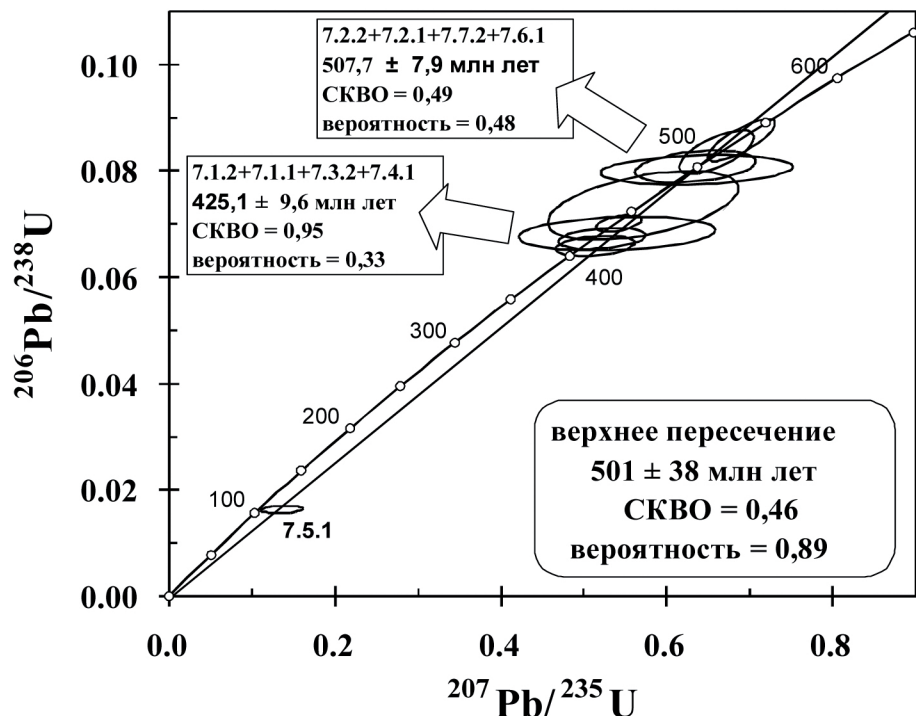


Рис. 4. U-Pb диаграмма с конкордией для цирконов, выделенных из тылита 11677.

ствующих U-Pb SHRIMP II данным кратеров 7.1.2, 7.1.1, 7.3.2 и 7.4.1, санкционирует вычисление конкордантного значения возраста $425,1 \pm 9,6$ млн лет (95 % доверительный уровень, СКВО = 0,95), который можно рассматривать как минимальную возрастную оценку с вероятностью соответствия 0,33. Аналогичные аргументы для кратеров 7.2.2, 7.2.1, 7.7.2 и 7.6.1 определяют конкордантный возраст $507,7 \pm 7,9$ млн лет ($\pm 2\sigma$, СКВО = 0,49, вероятность соответствия 0,48). Таким образом, новые U-Pb данные, полученные нами с помощью ионного микрозонда SHRIMP II по единичным цирконам и их фрагментам, выделенным из «псевдолейцитового» тылайта, позволяют сделать вывод о том, что горячему меланжу Платиноносного пояса соответствует верхний предел U-Pb изотопного возраста не менее $425,1 \pm 9,6$ млн. лет (Llandovery, по шкале F. Gradstein & J. Odd, 1996). Этот вывод хорошо согласуется с уже имеющимися надежными, прецизионными U-Pb ID-TIMS данными по изотопному возрасту габбро-норитов и плагиогранитов Платиноносного пояса Урала [Bosch et al., 1997; Ефимов и др., 2005]. Полученные в последнее время Sm-Nd данные, указывающие на еще более древний (до 540 млн лет) возраст отдельных элементов горячего меланжа – сложного, составного образования [Маегов, 2006; Попов, Беляцкий, 2006], также удовлетворительно совпадают с вновь полученной нами информацией по U-Pb геохронометру.

Первые сомнения в корректности полученных Е.В. Пушкаревым и др. [2003] Rb-Sr данных были высказаны нами ранее [Ефимов и др., 2005]. Дополнительные аргументы в пользу этих сомнений содержатся в работе В.С. Попова и Б.В. Беляцкого [2006]. Дело в том, что этими авторами для изотопного датирования были использованы два апатитовых пироксенита и четыре выделенных из них монофракции (два клинопироксена и два апатита), определившие Sm-Nd возраст 441 ± 27 млн лет, *представляющие собой те же пробы* (КТ400 и КТ401), по которым ранее Е.В. Пушкаревым и др. получена Rb-Sr эррохона с возрастом 340 ± 22 млн. лет. Таким образом, в свете недавно полученных и наших новых данных, вывод, сделанный на основании уже упомянутых Rb-Sr данных о том, что «формирование дунит-клинопироксенит-тылайтовой серии Кытлымского массива происходило в нижнем карбоне и охватывало временной ин-

тервал от 360 до 330 млн. лет... по крайней мере на 80-60 млн. лет моложе главной фазы островодужного магматизма... проявившегося в... силуре и отмеченного формированием габбро-норитов...» [Пушкарев и др., 2003], следует считать ошибочным, а основанные на этом выводе широкие геологические построения [Ферштатер и др., 2005; Bea et al., 2001; Пушкарев и др., 2003а и др.] – несостоительными.

В то же время, новые данные позволяют достаточно уверенно судить лишь о верхнем пределе изотопного возраста горячего меланжа (около 425 млн. лет), соответствующем, по-видимому, позднему этапу его тектоно-метаморфической эволюции, на котором возникли «псевдолейцитовые» тылайты с их экзотической химией. Возможно, что история формирования горячего меланжа, включающая тектоническое смешение генетически разнородного вещества, деформацию, пластическое течение этой смеси и аккрецию деформированных блоков, была очень длительной. Возможно также, что исходные компоненты горячего меланжа, и, в первую очередь, платиноносный дунит платформенного типа, образовались задолго до событий смешения и деформации, и в этом смысле в полученных более древних, чем 425-440 млн лет, датировках могут быть записаны более древние события. По-видимому, дальнейшие углубленные геохронологические исследования – единственный способ реконструировать раннюю историю Платиноносного пояса.

В заключение хотелось бы выразить со-жаление по поводу отсутствия в списке авторов статьи Ю.Л. Ронкина, являющегося активным участником данного исследования, однако исключенного из списка в соответствии с условиями издания «Ежегодника-2006», суть которых заключается в ограничении количества статей (не более двух) для одного и того же автора.

Работа выполнена при финансовой поддержке РФФИ (грант № 04-05-96078 РФФИ-Урал).

Список литературы

Ефимов А.А. Горячая тектоника в гипербазитах и габброидах Урала // Геотектоника. 1977. № 1. С. 24-41.

- Ефимов А.А.* Платиноносный пояс Урала: тектоно-метаморфическая история древней глубинной зоны, записанная в ее фрагментах // Отечеств. геология. 1999. № 3. С. 31-39.
- Ефимов А.А., Ефимова Л.П.* Кытлымский платиноносный массив // Мат-лы по геологии и полезн.ископаемым Урала. Вып. 13. М.: Недра, 1967. 336 с.
- Ефимов А.А., Маегов В.И.* О природе «скрытой расслоенности» в разрезе полосатой габбро-гипербазитовой серии Денежкина Камня (Северный Урал) // Докл. АН СССР. 1981, Т. 256. № 3. С. 658-662.
- Ефимов А.А., Малич К.Н., Ронкин Ю.Л.* О химическом составе ортоклаз-нефелиновых симплектитов («псевдолейциита») в щелочных тылаитах Косьвинского Камня (Северный Урал) // Ежегодник-2005. Екатеринбург: ИГГ УрО РАН. 2006. С. 159-161.
- Ефимов А.А., Потапова Т.А.* К вопросу о генезисе ортоклаз-нефелиновых симплектитов в тылаитах Платиноносного пояса Урала // Ежегодник-1999. Информ. сборник науч. трудов. Екатеринбург: ИГГ УрО РАН, 2000. С. 294-296.
- Ефимов А.А., Ронкин Ю.Л., Зиндерн С. и др.* Новые U-Pb данные по цирконам плагиогранитов Кытлымского массива: изотопный возраст поздних событий в истории Платиноносного пояса Урала // Докл. АН. 2005. Т. 403. № 4. С. 512-516.
- Маегов В.И., Петров Г.А., Ронкин Ю.Л. и др.* Первые результаты Sm-Nd датирования оливин-анортитовых габбро Платиноносного пояса Урала // Офиолиты: геология, петрология, металлогения и геодинамика. XII Чтения памяти А.Н. Заварицкого. Екатеринбург: УрО РАН, 2006. С. 110-113.
- Попов В.С. Беляцкий Б.В.* Sm-Nd возраст дунит-клинопироксенит-тылаитовой ассоциации Кытлымского массива, Платиноносный пояс Урала. Докл. АН. 2006. № 1. С. 104-109.
- Пушкирев Е.В.* Псевдолейциевые тылаиты в Платиноносном поясе Урала: первичные расплавы, производные метасоматизированной мантии // Петрография на рубеже XI века: ито-ги и перспективы. Мат-лы второго всерос. петрограф. совещ. Т. 3. Сыктывкар: Геопринт, 2000. С. 294-297.
- Пушкирев Е.В., Ферштатер Г.Б., Беа Ф., Бругман Г., Левин В.Я.* О каменноугольном возрасте формирования дунит-клинопироксенит-тылаитовых комплексов Урала, по данным изотопного датирования (геологические следствия) // Современные проблемы формационного анализа, петрология и рудоносность магматических образований. Тез. докл. Всерос. Совещания. Новосибирск: Изд-во СО РАН, филиал «Гео», 2003. С. 278-279.
- Пушкирев Е.В., Ферштатер Г.Б., Беа Ф., П. Монтеро, Дж. Скэрроу.* Изотопный Rb-Sr возраст псевдолейциевых тылаитов Платиноносного пояса Урала // Докл. АН. 2003, Т. 388. № 3. С. 97-100.
- Ронкин Ю.Л., Матуков Д.И., Пресняков С.Л. и др.* «In situ» U-Pb SHRIMP датирование цирконов нефелиновых сиенитов Бердяушского массива (Южный Урал) // Литосфера. № 1. 2005. С. 135-142.
- Ферштатер Г.Б., Беа Ф., Монтеро П., Краснобаев А.А. и др.* Эволюция палеозойского интрузивного магматизма Среднего и Южного Урала // Литосфера. 2005. № 3. С. 57-72.
- Ферштатер Г.Б., Пушкирев Е.В.* Нефелинодержащие тылаиты в дунит-клинопироксенит-габбровой ассоциации Платиноносного пояса Урала // Изв. АН СССР. Сер. геол. 1992. № 4. С. 74-84.
- Bosch D., Krasnobayev A.A., Efimov A.A. et al.* Early Silurian ages for the gabbroic section of the mafic-ultramafic Zone from the Urals Platinum Belt // Abstract of EUG. Strasbourg, 1997. V. 9. № 1. P. 122.
- Bea F., Fershtater G.B., Montero P. et all.* Recycling of continental crust into mantle as revealed by Kytlym dunite zircons, Ural Mts, Russia // Terra Nova. 2001. Vol. 13. № 6. P. 407-412.
- Ronkin, Y.L., Marks V.A., Ivanov, K.S. et all.* Isotopic and petrochemical peculiarities of distribution of the Platinum-bearing Belt of the Urals, Russia. Turku. Finland, 1997. P. 495-498.